

И. И. ДЗЮБИН

•
**ЗАПИРАЕМЫЕ
ТИРИСТОРЫ
И ИХ ПРИМЕНЕНИЕ**



МАССОВАЯ
РАДИО
БИБЛИОТЕКА

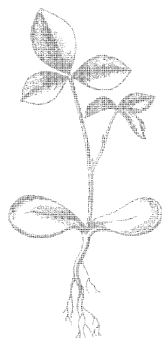
Выпуск 916

И. И. ДЗЮБИН

ЗАПИРАЕМЫЕ ТИРИСТОРЫ И ИХ ПРИМЕНЕНИЕ



«ЭНЕРГИЯ»
МОСКВА 1976



Scan AAW

6Ф0.32

Д43

УДК 621.382.2.026.072

РЕДАКЦИОННАЯ КОЛЛЕГИЯ:

Берг А. И., Белкин Б. Г., Борисов В. Г., Ванеев В. И., Геништа Е. Н., Гороховский А. В., Демьянов И. А., Ельяшкевич С. А., Жеребцов И. П., Корольков В. Г., Смирнов А. Д., Тарасов Ф. И., Чистяков Н. И., Шамшур В. И.

И. И. Дзюбин

Д43 Запираемые тиристоры и их применение. М., «Энергия», 1976.

40 с. с ил. (Массовая радиобиблиотека. Вып. 916).

В брошюре рассмотрен принцип действия и характеристики запираемых тиристоров, даны примеры их применения в различных устройствах (переключателях, импульсных генераторах, триггерах, счетчиках и др.). Описаны схемы управления запираемыми тиристорами, приведены их электрические параметры.

Брошюра рассчитана на подготовленных радиолюбителей.

Д 30404-431
051(01)-76 — 171-76

6Ф0.32

© Издательство «Энергия», 1976.

ПРЕДИСЛОВИЕ

Запираемые тиристоры относятся к классу четырехслойных полупроводниковых приборов. Основная отличительная особенность запираемых тиристоров состоит в их способности открываться и закрываться с помощью сигналов, подаваемых в цепь управления. Так, положительный импульс тока открывает запираемый тиристор, а последующий отрицательный импульс закрывает его. Такой механизм коммутации имеет явное преимущество по сравнению с механизмом коммутации транзистора, поскольку запираемые тиристоры сохраняют проводящее состояние при отсутствии входного сигнала, а следовательно, требуют значительно меньшую мощность для управления. Кроме того, запираемые тиристоры могут быть выполнены на более высокие рабочие напряжения и большие импульсные токи в открытом состоянии. Перечисленные свойства запираемых тиристоров позволяют им успешно конкурировать с мощными транзисторами, работающими в режиме переключения.

Их можно эффективно использовать как в маломощных импульсных устройствах (генераторах, усилителях, триггерах, счетчиках и т. п.), так и в выходных устройствах автоматики, где уровень мощностей значительно выше.

Цель настоящей книги — дать в систематизированной форме необходимые сведения о принципе действия и характеристиках запираемых тиристоров. Основной материал книги посвящен рассмотрению схем бесконтактных переключателей, генераторов, импульсных усилителей, а также ряда других устройств, выполненных на базе запираемых тиристоров.

Книга поможет радиолюбителям оценить достоинства и недостатки запираемых тиристоров и будет служить исходным материалом для разработки собственных схем различных переключающих устройств.

Автор

ОБЩИЕ СВЕДЕНИЯ О ЗАПИРАЕМЫХ ТИРИСТОРАХ

Устройство и принцип действия запираемых тиристоров. Проводящие и запирающие свойства четырехслойных полупроводниковых приборов определяются наличием в толще полупроводниковой пластины чередующихся слоев с различными типами проводимости.

На рис. 1, а схематически представлена структура тиристора. Четыре слоя области образуют три p - n перехода Π_1 , Π_2 , Π_3 . Две крайние области (p и n) являются соответственно анодом A и ка-

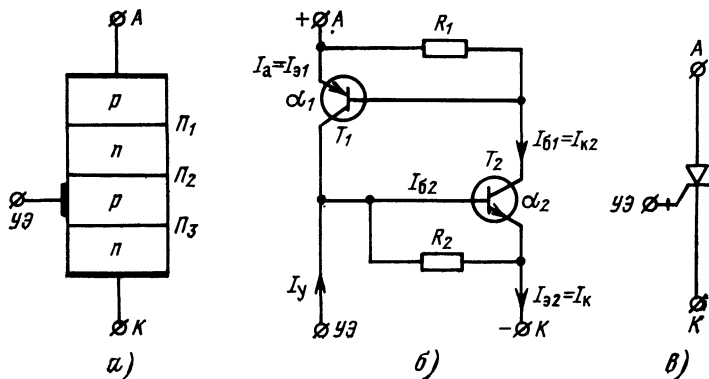


Рис. 1. Запираемый тиристор.

а — четырехслойная структура тиристора; б — двухтранзисторная схема замещения; в — условное обозначение.

тодом K , а средние слои являются базами n - и p -типов. К одному из средних слоев присоединяется управляющий электрод $УЭ$.

Четырехслойные полупроводниковые приборы, имеющие два вывода (анод и катод), называются диодными тиристорами $ДТ$, а имеющие три вывода (анод, катод и управляющий электрод) — триодными тиристорами $ТТ$. Триодный тиристор, способный не только открываться, но и закрываться по управляющему электроду, получил название запираемого тиристора $ЗТ$.

Для анализа принципа действия запираемого тиристора целесообразно его четырехслойную структуру представить в виде схемы замещения (рис. 1, б), состоящей из двух транзисторов T_1 и T_2 соответственно p - n - p - и n - p - n -типов. В этой схеме для учета нелинейной зависимости коэффициентов усиления α_1 и α_2 от тока эмиттерные переходы транзисторов шунтируются сопротивлениями R_1

и R_2 . База и коллектор транзистора T_1 соединены соответственно с коллектором и базой транзистора T_2 , образуя цепь внутренней положительной обратной связи.

Если к аноду тиристора подключить положительный полюс внешнего источника питания, а к катоду — отрицательный, то переходы P_1 и P_3 будут смещаться в прямом, а центральный переход P_2 — в обратном направлениях. Таким образом, напряжение источника питания окажется приложенным к переходу P_2 и ток во внешней цепи будет определяться выражением [Л. 9]

$$I = \frac{I_{к0}}{1 - (\alpha_1 + \alpha_2)},$$

где $I_{к0}$ — обратный ток перехода P_2 .

Из этого выражения видно, что ток I зависит от коэффициентов α_1 и α_2 и резко возрастает, когда их сумма приближается к единице.

Наличие входного сигнала позволяет увеличивать коэффициенты усиления составных транзисторов независимо от приложенного напряжения и протекающего через прибор тока. Действительно, ток управления I_y , поступаая на базу транзистора T_2 , увеличивает ток через него, а следовательно, и коэффициент усиления α_2 . Возрастание тока через транзистор T_2 вызывает увеличение эмиттерного и коллекторного токов транзистора T_1 . Этот процесс приводит к тому, что коллекторные токи обоих транзисторов лавинно нарастают, коэффициенты усиления α_1 и α_2 резко увеличиваются и оба транзистора переходят в режим насыщения. Сумма коэффициентов усиления $\alpha_1 + \alpha_2$ при этом становится равной единице, сопротивление между анодом и катодом тиристора снижается до нескольких долей ома, а ток, протекающий через переход P_2 , при этом определяется выражением

$$I = \frac{I_{к0} + \alpha_2 I_y}{1 - (\alpha_1 + \alpha_2)}.$$

Таким образом, управляя током, протекающим через один из эмиттерных переходов, можно переключать тиристор в проводящее состояние почти независимо от значения приложенного к прибору напряжения.

При этом отключение управляющего сигнала не вносит изменений в процесс протекания анодного тока через тиристор, так как базы транзисторов T_1 и T_2 заполнены неравновесными носителями, которые обеспечивают взаимную встречную инжекцию от эмиттеров. В этом заключается принципиальное различие транзистора и тиристора. Транзистор, включенный по схеме с общим эмиттером и работающий в режиме насыщения, при снятии управляющего сигнала выключается. Это происходит потому, что прекращается приток основных носителей в базу. В тиристоре же ток базы транзистора T_1 является током коллектора T_2 и наоборот, т. е. независимо от наличия управляющего сигнала при открытом тиристоре всегда имеется источник основных носителей в базах. Это и поддерживает в тиристоре состояние насыщения.

Открытый тиристор (диодный или триодный) можно запереть, если разорвать анодную цепь или уменьшить проходящий через него ток до значения, меньшего $I_{выкл.}$. Однако это требует усложнения схемы. В запираемых тиристорах выключение прибора осу-

ществляется с помощью отрицательного сигнала, подаваемого в цепь управляющего электрода. В этом случае ток базы транзистора T_1 становится равным [Л. 9, 11]

$$I_{\Theta 1} = \alpha_1 I_{\Theta 1} - I_3,$$

где $I_{\Theta 1}$ — эмиттерный ток транзистора T_1 ; I_3 — ток запирающего тиристора.

Транзистор T_1 можно вывести из состояния насыщения при условии

$$\alpha_1 I_{\Theta 1} - I_3 < (1 - \alpha_2) I_{\Theta 2},$$

где $I_{\Theta 2}$ — ток эмиттера транзистора T_2 .

Учитывая, что $I_{\Theta 1} = I_{\Theta 2} + I_3 = I_a$, получим:

$$I_a = (\alpha_1 + \alpha_2 - 1) < \alpha_2 I_a,$$

где I_a — ток анода тиристора, при котором происходит запирающее.

Способность тиристора к запирающему по управляющему электроду характеризуется коэффициентом запирающего K_3 [Л. 9, 11]:

$$K_3 = \frac{I_a}{I_3} = \frac{\alpha_2}{\alpha_1 + \alpha_2 - 1}.$$

Из этого выражения следует, что коэффициент запирающего зависит от коэффициентов усиления α_1 и α_2 транзисторов и тем больше, чем больше α_2 и чем ближе к единице сумма $\alpha_1 + \alpha_2$. Физически это означает, что чем меньше степень насыщения центрального перехода, тем легче запирается тиристор. С другой стороны, для

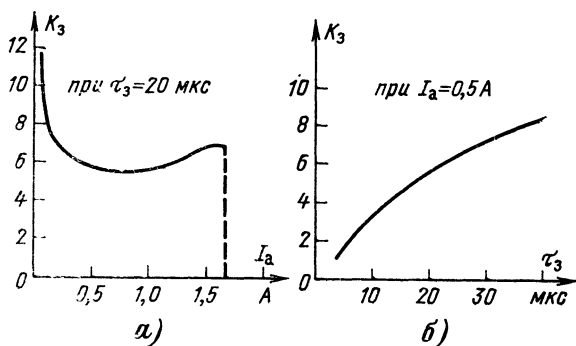


Рис. 2. Характеристики запираемых тиристоров.

получения высокого коэффициента усиления при отпирании необходимо, чтобы коэффициент α_1 был близок к единице. Одновременное выполнение этих условий — достаточно сложная техническая проблема, поэтому для запираемых тиристоров характерен низкий коэффициент усиления при запирающем.

На рис. 2,а приведена зависимость коэффициента запирающего от анодного тока для тиристора КУ204. По мере увеличения тока

коэффициент K_a быстро падает от бесконечности при $I_a = I_{a\text{выкл}}$ до некоторого минимального значения, после чего опять начинает постепенно увеличиваться. При достаточно большом значении анодного тока тиристор может не выключиться по управляющему электроду. Это объясняется тем, что при увеличении анодного тока возрастает ток запираания тиристора. В результате крайние области перехода P_3 пробиваются и тиристор выходит из строя. Поэтому коммутировать по управляющему электроду анодный ток тиристора, превышающий его номинальное значение, не рекомендуется.

Зависимость коэффициента K_a от длительности запирающего импульса τ_a приведена на рис. 2,б. С уменьшением длительности запирающего импульса коэффициент запираания резко падает. Для получения максимального быстродействия ключевых схем на запираемых тиристорах необходимо работать при токах, близких к максимально допустимому току запираания тиристора.

Запираемые тиристоры изготавливаются из кремния, хотя их можно изготовить и на основе германия. Выбор кремния в качестве исходного материала обусловлен, во-первых, ярко выраженной зависимостью коэффициентов усиления α от протекающего тока, во-вторых, более широким диапазоном рабочих температур (до 150°C) и, в-третьих, более высоким удельным сопротивлением, что позволяет создавать приборы с высоким напряжением переключения.

Кристалл со структурой запираемого тиристора монтируется в герметичном металлическом корпусе. Герметизация осуществляется с помощью синтетических заливающих компаундов. Это предохраняет прибор от влияния климатических условий, а также обеспечивает стабильность его параметров в течение срока службы.

Монтаж и эксплуатация запираемых тиристоров должны производиться с учетом выполнения следующих основных требований: температура окружающей среды должна быть $-60 \div +110^\circ\text{C}$; пайку изолированных выводов можно производить на расстоянии не менее 3—5 мм от корпуса прибора;

температура корпуса прибора не должна превышать значений, указанных в технических условиях;

основные параметры тиристоров не должны превышать максимально допустимых значений.

В соответствии с ГОСТ 10862-72 тиристорам присваиваются обозначения, состоящие из пяти элементов. Первый элемент обозначения — буква К (или цифра 2) указывает, что исходным полупроводниковым материалом является кремний. Второй элемент обозначения указывает класс приборов: Н — диодные тиристоры, У — триодные тиристоры. Третий элемент обозначения определяет назначение прибора: цифра 3 для запираемых тиристоров малой мощности, цифра 4 для тиристоров средней мощности. Четвертый и пятый элементы определяют порядковый номер разработки технологического типа прибора и обозначаются цифрами от 01 до 99.

ВОЛЬТ-АМПЕРНЫЕ ХАРАКТЕРИСТИКИ ЗАПИРАЕМЫХ ТИРИСТОРОВ

Режим работы запираемых тиристоров хорошо иллюстрируется их вольт-амперными характеристиками: статической и входной. Первая определяет закон изменения анодного тока от анодного напряжения при фиксированных значениях тока управления: $I_a = f(U_a)$ при $I_y = \text{const}$. Входная характеристика определяет зависимость между током и напряжением, необходимым для переключения (от-

пирания и запираания) тиристора: $I_y = f(\dot{U}_y)$, $I_a = f(\dot{U}_a)$ при $I_a = \text{const}$.

Статические вольт-амперные характеристики. На рис. 3 показано семейство статических вольт-амперных характеристик запираемого тиристора. Здесь по горизонтальной оси отложено напряжение между анодом и катодом, а по вертикальной — ток через тиристор.

На приведенных зависимостях имеется ряд характерных участков. Участок *I* характеризует закрытое состояние тиристора: здесь увеличение анодного напряжения мало влияет на значение тока, проходящего через прибор. Прямое анодное напряжение, соответствующее точке *A* характеристики, называется напряжением включения $U_{\text{вкл}}$, а прямой ток, протекающий при этом через закрытый прибор, — током включения $I_{\text{вкл}}$. Участок *II* соответствует процессу переключения прибора, а участок *III* является рабочим и характеризует полностью открытое состояние тиристора.

Рассмотрим процесс отпирания тиристора при токе управления $I_y > 0$. Если к управляющему электроду приложить положительный потенциал, а к катоду — отрицательный, то при токе управления, равном току спрямления $I_{\text{спр}}$, тиристор полностью откроется. В этом

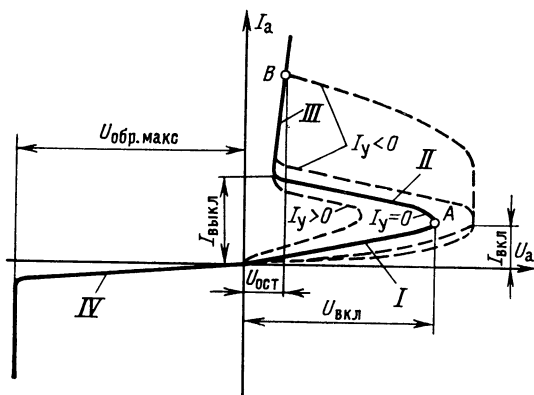


Рис. 3. Семейство статических вольт-амперных характеристик тиристора.

случае через него протекает прямой анодный ток, а падение напряжения на открытом тиристоре станет равным остаточному напряжению $U_{\text{ост}}$. Будучи включенным, тиристор остается в открытом состоянии до тех пор, пока ток, протекающий через него, превышает некоторый минимальный ток, называемый током включения $I_{\text{вкл}}$.

При токе управления $I_y < 0$ ток выключения $I_{\text{выкл}}$ растет. Увеличивая таким образом $I_{\text{выкл}}$, можно переключить тиристор в закрытое состояние. Переход запираемого тиристора в закрытое состояние начинается в точке *B* при анодном токе $I_a = I_{\text{выкл}}$ и при токе управления $I_y < 0$. В этой точке падение напряжения на переходе P_2 (см. рис. 1) очень мало, следовательно, ток центрального p - n перехода также мал и его можно не учитывать. Поэтому полный ток, протекающий через переход P_2 , равен анодному току.

Значение обратного напряжения $U_{обр}$ (участок IV), которое можно прикладывать к запираемому тиристор, определяется удельным сопротивлением переходов P_1 и P_3 и концентрацией примесей в переходах. Поскольку запираемые тиристоры предназначены в основном для коммутации на постоянном токе, значение $U_{обр}$ не превышает десятков вольт. Так, для тиристоров типа 2У102 наибольшее обратное напряжение $U_{обр.макс}$ не превышает 5 В. В случае, если появляется необходимость в увеличении обратного напряжения, то последовательно с запираемым тиристором можно включать обычный полупроводниковый диод.

К основным статическим параметрам запираемого тиристора относятся также: импульсный ток запираения I_3 — ток, при котором тиристор переключается в закрытое состояние при заданных значениях анодного тока и напряжения; импульсное напряжение запираения U_3 — обратное напряжение на управляющем электроде по отношению к катоду в начальный момент запираения тиристора.

Входная вольт-амперная характеристика. Для анализа процесса запираения тиристора рассмотрим его входную характеристику, представленную на рис. 4.

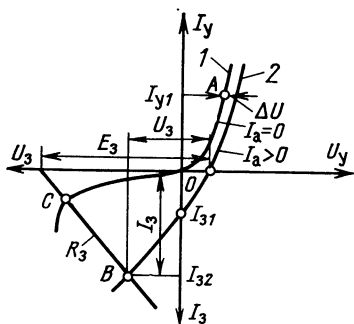


Рис. 4. Входные вольт-амперные характеристики запираемого тиристора.

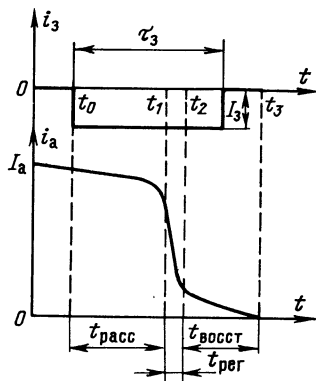


Рис. 5. Выключение запираемого тиристора.

Если источник питания управляющей цепи отключен (кривая 1), тиристор закрыт и ток $I_a = 0$. При подключении ко входу прибора источника питания E_y тиристор открывается и рабочая точка перемещается с кривой 1 на кривую 2. Падение напряжения ΔU обусловлено протеканием тока через нагрузку.

Для запираения тиристора необходимо отключить источник E_y и подключить источник питания E_3 . При увеличении тока запираения от значения I_{31} до I_{32} происходит рассасывание зарядов в базе тиристора. Ток I_{32} вызывает уменьшение эмиттерного тока транзистора T_2 (см. рис. 1), а следовательно, и уменьшение коэффициентов усиления α_1 и α_2 транзисторов, достаточное для запираения тиристора. При этом рабочая точка из положения B перемещается в положение C по линии, угол наклона которой пропорционален сопро-

тивлению генератора запирающих импульсов R_a . Последний должен обеспечить протекание тока запирания I_3 до того момента, пока анодный ток I_a не станет меньше I_3 и переход P_3 тиристора не начнет запирается. Чем выше внутреннее сопротивление генератора, тем больший ток требуется для запираания тиристора. На практике выбирают генераторы с малым внутренним сопротивлением, особенно в тех случаях, когда длительность импульса управления значительно превышает время выключения $t_{\text{выкл}}$ тиристора.

Определим минимальную длительность импульса, необходимую для запираания тиристора. Для этого весь процесс запираания разобьем на три этапа (рис. 5). До начала процесса запираания центральный переход тиристора находится в состоянии насыщения и через тиристор протекает ток I_a . При подаче в цепь управляющего электрода запирающего импульса I_3 длительностью τ_3 происходит изменение анодного тока во времени.

На первом этапе $t_{\text{расс}}$ происходит рассасывание избыточных зарядов под воздействием запирающего сигнала. Анодный ток на этом этапе меняется незначительно.

На втором этапе $t_{\text{рег}}$ вследствие возникновения положительной обратной связи ток через тиристор лавинообразно уменьшается и носит регенеративный характер. Для надежного запираания тиристора длительность запирающего импульса τ_3 должна быть не менее $t_{\text{расс}} + t_{\text{рег}}$. В противном случае происходит срыв процесса запираания, так как в базах находится еще достаточное количество зарядов, способных перевести тиристор в проводящее состояние.

На третьем этапе $t_{\text{восст}}$ анодный ток медленно падает и тиристор восстанавливает запирающие свойства. Если длительность импульса $\tau_3 < t_{\text{расс}} + t_{\text{рег}} + t_{\text{восст}}$, возможно ложное срабатывание тиристора под воздействием дырочного тока, поступающего в p -базу через коллекторный переход. Этот ток может вызвать перезаряд емкости перехода P_3 до положительного напряжения, в результате чего переход P_3 может открыться.

Таким образом, длительность запирающего импульса должна быть не менее суммы $t_{\text{расс}} + t_{\text{рег}} + t_{\text{восст}}$. Каждое из слагаемых этой суммы уменьшается с возрастанием тока запираания. Это означает, что увеличение амплитуды запирающих импульсов позволяет сократить их длительность.

На характеристики запираания оказывает влияние и значение прямого напряжения на тиристоре. Длительность импульса τ_3 растет с увеличением напряжения $U_{\text{пр}}$ за счет изменения коэффициентов усиления α . Как и любой полупроводниковый прибор, запираемый тиристор чувствителен к колебаниям температуры окружающей среды. С повышением температуры коэффициент запираания K_z увеличивается.

Рассмотренные свойства запираемых тиристорov определяют область их применения. В настоящее время они используются в устройствах, питающихся от источника постоянного тока. Запираемые тиристоры обеспечивают более простую схему отключения нагрузок и способны работать при более высоких частотах, чем обычные триодные тиристоры. Кроме этого, в целом ряде случаев запираемые тиристоры позволяют упростить построение таких импульсных устройств, как триггеры, усилители, счетчики и др.

Что касается использования запираемых тиристорov в цепях переменного тока, то здесь предпочтение надо отдать симметричным и триодным тиристорам.

УПРАВЛЕНИЕ ЗАПИРАЕМЫМИ ТИРИСТОРАМИ

Основное назначение устройств и схем управления запираемыми тиристорами — создание биполярных сигналов, необходимых для надежного отпирания и запираания тиристора.

Запираемый тиристор открывается подобно триодному и его входная вольт-амперная характеристика при включении аналогична характеристике триодного тиристора. Включение может осуществляться от источника анодного напряжения или с помощью специальных генераторов, при этом управляющий сигнал может представлять собой постоянный ток или иметь форму импульса с достаточно крутым фронтом. Полярность управляющего запускающего сигнала должна быть положительной по отношению к катоду тиристора. В общем случае условиями надежного отпирания тиристора являются:

$$I_y \geq I_{спр}; U_y \geq U_{спр}; I_y U_y \leq P_{у.макс.}$$

где $I_{спр}$ — импульсный ток спрямления; $U_{спр}$ — импульсное напряжение спрямления; $P_{у.макс.}$ — максимально допустимая входная мощность управляющего сигнала.

Более эффективно использовать для управления тиристорами экономичные импульсные источники тока. В этом случае тиристоры включают кратковременными сигналами определенной длительности, причем амплитуда управляющего сигнала может значительно превышать постоянный входной ток, а запас по максимально допустимому режиму цепи управления обеспечивается при выполнении условия

$$P_y \tau_y f_y < P_{у.макс.}$$

где τ_y и f_y — длительность импульса и частота следования управляющего сигнала соответственно.

На рис. 6 приведен график, иллюстрирующий процесс отпирания тиристора. При подаче на управляющий электрод импульса переключение тиристора из закрытого состояния в проводящее произойдет не мгновенно, а с некоторым запаздыванием, называемым временем задержки t_z . Это объясняется тем, что повышение концентрации основных носителей, а следовательно, и соответствующий рост инжекции электронов происходит неравномерно и начинается лишь в очень узкой зоне, примыкающей к управляющему электроду. Продолжительность управляющего импульса определяется временем, необходимым для нарастания тока в анодной цепи тиристора. Интервал времени, в течение которого анодный ток увеличивается от 0,1 до 0,9 своего первоначального значения, называется временем нарастания анодного тока τ_n . Таким образом, полное время включения тиристора равно $\tau_{вкл} = t_z + \tau_n$.

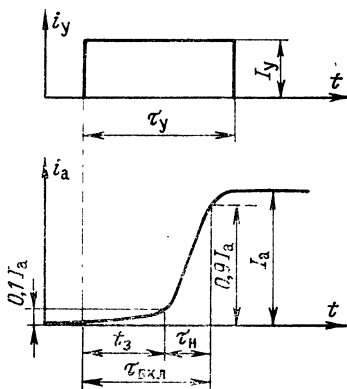


Рис. 6. Включение запираемого тиристора.

Поскольку рост анодного тока определяется параметрами схемы, а также режимом нагрузки, длительность управляющего импульса выбирается несколько большей времени включения $\tau_y > \tau_{вкл.}$. При увеличении тока управления I_y время задержки t_z несколько сокращается и для тиристорov 2У102, КУ204 может быть выбрано в пределах от 3 до 5 мкс.

Управление запираемыми тиристорами имеет ряд особенностей, поэтому при разработке схем управления необходимо учитывать следующие факторы: включение и выключение запираемого тиристора осуществляется импульсами различной полярности; наличие биполярного сигнала приводит к необходимости развязки генераторов запускающих и запирающих импульсов.

Управление запираемыми тиристорами может осуществляться как от одного источника питания, когда биполярный сигнал формируется с помощью реактивных элементов или включением нагрузки в катодную цепь тиристора, так и от двух источников питания, один из которых является дополнительным источником смещения.

Схемы управления с одним источником питания. На рис. 7, а показана схема управления запираемым тиристором 3Т с помощью конденсатора, включенного последовательно в цепь управляющего электрода. При разомкнутом выключателе В конденсатор С через резистор R_1 и внутреннее сопротивление управляющей цепи заряжается до напряжения источника питания E и на входе тиристора

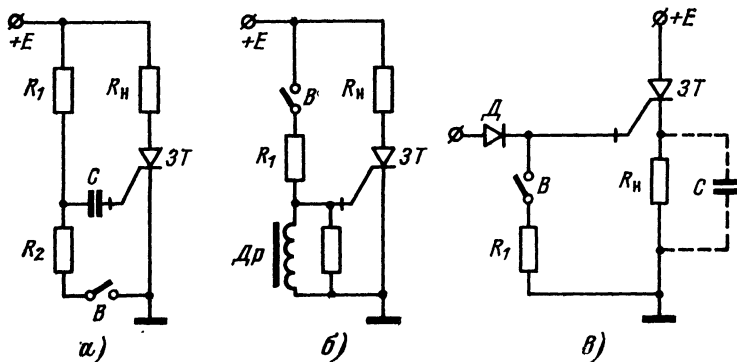


Рис. 7. Схемы управления запираемым тиристором с одним источником питания.

появляется запускающий импульс положительной полярности. Тиристор открывается, и все напряжение прикладывается к нагрузке. При замыкании выключателя В происходит разряд конденсатора через резистор R_2 и внутреннее сопротивление управляющей цепи 3Т, обеспечивая на входе тиристора импульс отрицательной полярности. Для запираания тиристора достаточно иметь [Л. 9, 16]:

$$R_2 \leq \frac{E - U_{з.макс}}{2I_{з.макс}} ; C \geq \frac{\tau_z}{R_2 + \frac{U_{з.макс}}{I_{з.макс}}} ,$$

где $U_{з.макс}$ — максимальное напряжение, необходимое для запира-
ния тиристора; $I_{з.макс}$ — максимальный ток запира-
ния; τ_3 — длительность запирающего импульса.

В большинстве практических схем сопротивление резистора R_2 выбирают меньше расчетного. Нижний предел R_2 определяется либо по допустимому току через выключатель B , либо по допустимой мощности рассеивания тиристора $3T$.

В схеме рис. 7,б запира-
ние тиристора $3T$ осуществляется по-
средством прерывания постоянного тока, протекающего через дрос-
сель, включенный между управляющим электродом и катодом тири-
стора. При замыкании выключателя B тиристор переключается
в проводящее состояние, если соблюдается условие:

$$\frac{E}{R_1} \geq I_{у.макс.}$$

где $I_{у.макс}$ — максимальный ток управления.

При размыкании выключателя B возникает импульс тока отри-
цательной полярности, обусловленный э. д. с. самоиндукции дрос-
селя Dr . Этот импульс запирает тиристор $3T$. Условием надежного
запира-
ния тиристора является соблюдение следующих неравенств
[Л. 16]:

$$\frac{E}{R_1} \geq 2I_3; \frac{LI_3}{U_3} \geq \tau_3,$$

где L — индуктивность дросселя.

На рис. 7,в приведена схема, обеспечивающая запира-
ние тири-
стора $3T$ без использования накопителей энергии. Как правило,
в этих случаях сопротивление нагрузки R_n включается в катодную
цепь тиристора. Тиристор $3T$ открывается при подаче запускающего
импульса через диод D (выключатель B разомкнут). При замыкании
выключателя управляющий электрод тиристора через резистор R_1
подключается к минусу источника питания E , в результате чего
в цепи управляющего электрода возникает ток I_3 , вызывающий за-
пира-
ние тиристора. Сопротивление резистора R_1 выбирается из усло-
вия обеспечения необходимого тока-запира-
ния тиристора [Л. 16]

$$R_1 \leq R_n(K_3 - 1) - \frac{U_{з.макс}}{I_a K_3},$$

где I_a — максимальный анодный ток в период переключения, опре-
деляемый по формуле

$$I_a = \frac{I_n}{\left(1 - \frac{1}{K_3}\right)},$$

где I_n — ток через нагрузку.

Для поддержания напряжения на сопротивлении R_n при сни-
жении тока нагрузки резистор R_n шунтируют конденсатором C ,
который также способствует ускорению процесса запира-
ния тири-
стора. Диод D служит для развязки входной цепи тиристора $3T$
от генератора запускающих импульсов.

Ввиду того что в рассмотренной схеме отсутствуют реактив-
ные элементы, ей свойственно более высокое быстродействие. Одна-
ко при запира-
нии тиристора возрастает его анодный ток за счет

тока управления, протекающего через резистор R_1 . В результате приходится снижать ток через нагрузку R_H с тем, чтобы не превысить максимально допустимого значения анодного тока, указанного в технических условиях. Это является существенным недостатком схем с нагрузкой в цепи катода. От этого недостатка свободны схемы управления с двумя источниками питания.

Схемы управления с двумя источниками питания. В схеме, показанной на рис. 8,а, нагрузка включена в анодную цепь тиристора $3T$. При подаче входного отрицательного сигнала $U_{вх}$ на базу транзистора T последний закрывается и от дополнительного низко-

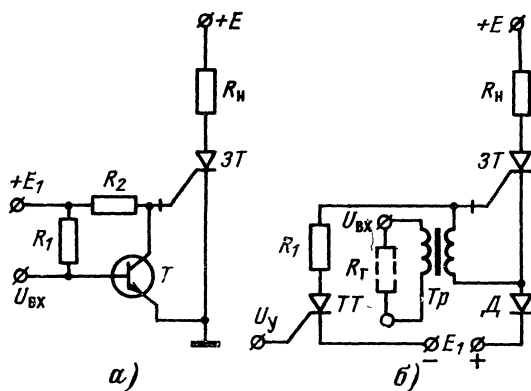


Рис. 8. Схемы управления с двумя источниками питания. а — с транзисторным ключом; б — с тиристорным ключом.

вольтного источника питания E_1 через резистор R_2 поступает управляющий сигнал, открывающий тиристор $3T$. При отсутствии сигнала $U_{вх}$ транзистор находится в состоянии насыщения. Управляющий электрод тиристора $3T$ при этом накоротко замкнут, что обеспечивает его запираение.

Простота управления и отсутствие реактивных элементов, а также низкий уровень входного сигнала позволяют использовать такие схемы в качестве выходных в системах автоматики и логических схемах. При этом их выполняют в виде одного прибора в общем корпусе.

Может быть применена трансформаторная связь тиристора $3T$ с генератором запускающих импульсов (рис. 8,б). Это позволяет при относительно больших значениях напряжения источника питания E и тока нагрузки I_H управлять тиристором с помощью сравнительно коротких импульсов. При подаче входного сигнала $U_{вх}$ тиристор $3T$ открывается и через нагрузку R_H протекает ток. Для запираения тиристора $3T$ на триодный тиристор TT подается импульс U_y , амплитуда и длительность которого определяются техническими требованиями на триодный тиристор. Дiode D необходим для отключения тиристора TT после запираения тиристора $3T$. Выбор типа диода определяется допустимыми значениями его обратного тока и напряжения: $I_{обр} < I_{выкл.тт}$, $U_{обр} = E_1$.

Средний ток, потребляемый от источника смещения E_1 , весьма мал, так как после запираания тиристора $3T$ диод D разрывает цепь источника E_1 .

Быстродействие схемы определяется только частотными возможностями тиристоров, поэтому оно значительно выше, чем в схемах с реактивными коммутационными элементами.

БЕСКОНТАКТНЫЕ ПЕРЕКЛЮЧАЮЩИЕ УСТРОЙСТВА

Бесконтактная коммутация сигналов постоянного и переменного тока возможна с помощью различных схем, использующих выпрямительные диоды, транзисторы и тиристоры. Качество любого из перечисленных ключевых устройств определяется в первую очередь минимальным током в разомкнутом состоянии и скоростью переключения. Этим требованиям в наибольшей степени удовлетворяют ключевые устройства, собранные на запираемых тиристорах, так как их характеристики близки к характеристикам идеального ключа и

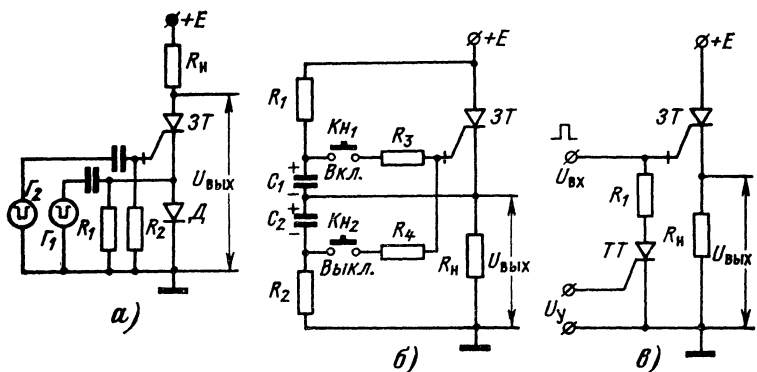


Рис. 9. Схемы переключателей постоянного тока.

они могут выполнять функции обычных выключателей. Преимущества запираемых тиристоров особенно ощутимы в тех случаях, когда требуются высокое рабочее напряжение, быстродействие, долговечность и т. п. Схемы некоторых таких устройств рассмотрены ниже.

Переключатели постоянного тока. Простейшая схема переключателя постоянного тока приведена на рис. 9,а. Отпирание и запираание тиристора $3T$ осуществляются от двух генераторов однополярных импульсов G_1 и G_2 .

Для отпирания тиристора используется отрицательный импульс, подаваемый от генератора G_1 , что соответствует положительному току управления. Запирание тиристора происходит при подаче отрицательного импульса от генератора G_2 .

Если пренебречь обратным током диода D , то необходимые для отпирания и запираания токи I_y и I_z могут быть определены из

следующих условий [Л. 1]:

$$I_y \geq I_{\text{вкл}} \geq \frac{E_1}{R_{i1} + R_{3T} + R_2}; \quad I_3 \geq I_{\text{выкл}} \geq \frac{E_2}{R_{i2} + R_{3T} + R_1},$$

где E_1 и E_2 — э. д. с. генераторов Γ_1 и Γ_2 соответственно; R_{i1} и R_{i2} — внутренние сопротивления генераторов Γ_1 и Γ_2 соответственно; R_{3T} — входное сопротивление тиристора.

Основной недостаток этой схемы — наличие двух синхронизированных генераторов импульсов. Чтобы устранить взаимное влияние генераторов, их внутренние сопротивления R_{i1} и R_{i2} должны быть очень большими, что энергетически невыгодно. Кроме того, наличие диода D приводит к дополнительному падению напряжения в схеме.

В схеме, приведенной на рис. 9,б, управление запираемым тиристором производится с помощью двух кнопок. В исходном состоянии конденсатор C_1 через резисторы R_1 и R_H заряжен до напряжения источника питания E (полярность напряжения на конденсаторе C_1 указана на рисунке). При нажатии кнопки K_{H1} (Вкл.), происходит разряд конденсатора C_1 через входную цепь и тиристор переходит в проводящее состояние. Все напряжение оказывается приложенным к нагрузке, и конденсатор C_2 начинает заряжаться через резистор R_2 и R_H до напряжения, равного напряжению на

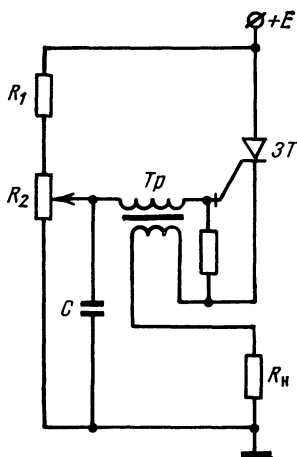


Рис. 10. Схема быстродействующего высокочастотного прерывателя.

нагрузке (полярность напряжения на конденсаторе C_2 показана на рисунке). Отключение нагрузки производится нажатием кнопки K_{H2} (Выкл.). При этом конденсатор C_2 разряжается через управляющий электрод тиристора, обеспечивая его запираение.

Хорошие результаты дает схема переключателя (рис. 9,в), в которой совместно используются триодный и запираемый тиристоры, а нагрузка R_H включается в катод тиристора $3T$. Включение переключателя происходит при подаче положительного импульса $U_{вх}$ в цепь управляющего электрода тиристора $3T$. Для запираения тиристора $3T$ необходимо открыть тиристор TT , подав на его вход импульс U_y . Если в качестве тиристора $3T$ используется прибор типа КУ204, то для его запираения достаточно подать в цепь управляющего электрода импульс с параметрами $I_a < 5$ мА, $\tau_a = 3$ мкс. Для обеспечения надежного переключения сопротивление резистора R_1 выбирается достаточно малым.

Быстродействующий высокочастотный прерыватель. В подобных устройствах преимущества запираемых тиристоров проявляются в том, что они могут работать в пределах широкого диапазона токов и напряжений, обеспечивая при этом значительно большую

надежность по сравнению с обычными электромеханическими устройствами. Кроме этого, они способны весьма просто обеспечить широкий диапазон изменения частоты включения и выключения.

На рис. 10 [Л. 16] приведена одна из возможных схем прерывателя на постоянном токе. В ней используются запираемый тиристор $3T$ и понижающий трансформатор Tr с высоким коэффициентом трансформации. В исходном состоянии тиристор $3T$ закрыт. Когда включается напряжение источника питания E , магнитопровод трансформатора Tr начинает насыщаться. После насыщения магнитопровода напряжение на первичной обмотке трансформатора снижается и через резисторы R_1 и R_2 протекает положительный

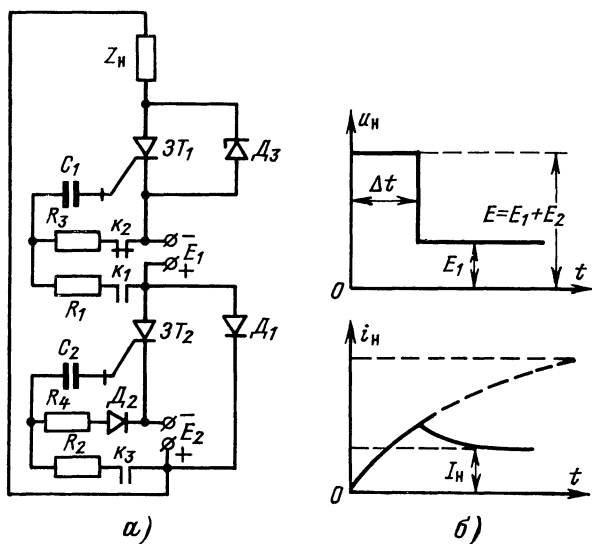


Рис. 11. Устройство для форсированного включения и отключения нагрузок.

ток, достаточный для отпирания тиристора. Вторичная обмотка трансформатора, имеющая небольшое количество витков, ускоряет процесс отпирания тиристора за счет положительной обратной связи. При открытом тиристоре ток в первичной обмотке трансформатора изменяет свое направление, так как катод и управляющий электрод тиристора имеют потенциал анода, и магнитопровод трансформатора выходит из состояния насыщения. Время открытого состояния тиристора определяется временем насыщения магнитопровода при обратном токе и может регулироваться с помощью потенциометра R_2 . При насыщении магнитопровода трансформатора в цепи управляющего электрода возникает отрицательный импульс и тиристор запирается.

Тиристор является идеальным элементом для данного типа прерывателя благодаря своему быстрдействию, обеспечивающему частоту переключений до 100 кГц.

Устройство для включения и отключения нагрузок. В ряде случаев необходимо обеспечить нарастание тока за определенный фиксированный отрезок времени Δt . Для реализации такого режима к нагрузке прикладывают ступенчатое напряжение. На рис. 11,а показана схема устройства, выходное напряжение которого имеет ступенчатую форму, а на рис. 11,б — переходные процессы [Л. 11].

Устройство содержит два запираемых тиристора $ЗТ_1$ и $ЗТ_2$, подключенных к двум источникам питания E_1 и E_2 . Управление тиристорами осуществляется посредством попеременного заряда и разряда конденсаторов C_1 и C_2 . Допустим, что контакты k_1, k_3

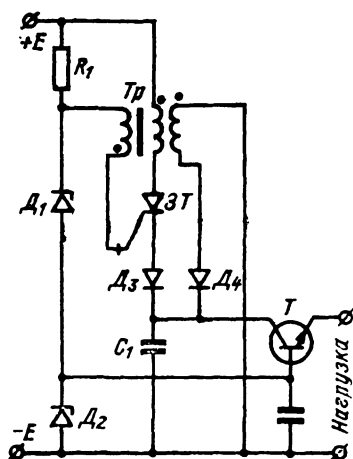


Рис. 12. Схема стабилизированного преобразователя напряжения.

В рассмотренной схеме ускорение процесса отключения нагрузки обеспечивается включением параллельно тиристоры $ЗТ_1$ стабилизатора $Д_3$. В этом случае $U_{отк} = U_{ст} - E_1$, где $U_{ст} > E_1$ — напряжение стабилизации стабилитрона, $U_{отк}$ — напряжение отключения нагрузки.

Стабилизированный преобразователь напряжения. Запираемые тиристоры могут работать от источников постоянного тока с повышенным напряжением и осуществлять переключение на относительно высоких частотах. Это позволяет использовать их в схемах стабилизированных преобразователей напряжения (рис. 12) [Л. 16]. Здесь тиристор $ЗТ$ используется в качестве коммутирующего и регулирующего элемента. При включении источника питания E через резистор R_1 и левую обмотку трансформатора Tr на управляющий электрод тиристора поступает положительный импульс. Сопротивление резистора R_1 выбирается из условия обеспечения необходимого тока управления тиристора $ЗТ$ при наименьшем питающем напряжении. Ток, протекающий через первичную обмотку трансформатора, не только ускоряет процесс отпирания тиристора $ЗТ$, но и уменьшает потери в цепи управляющего электрода.

замкнуты, а контакт k_2 разомкнут. Тогда тиристор $ЗТ_1$ откроется по цепи $+E_1, R_1, C_1$, а $ЗТ_2$ — по цепи $+E_2, R_2, C_2$. При этом к нагрузке Z_n окажется приложено суммарное напряжение источников питания $E = E_1 + E_2$. В таком состоянии устройство будет находиться до тех пор, пока конденсатор C_2 не зарядится настолько, что диод $Д_2$ начнет проводить ток. Тогда конденсатор C_2 разряжается по цепи $Д_2 R_4$ и на входе тиристора $ЗТ_2$ появляется отрицательное напряжение, которое запирает его. При этом источник питания E_2 отключается от нагрузки и ток нагрузки I_n замыкается по цепи $+E_1, Д_1, Z_n, ЗТ_1, -E_1$.

Если теперь разомкнуть контакты k_1 и k_3 и замкнуть контакт k_2 , конденсатор C_1 разрядится через резистор R_3 и закроет тиристор $ЗТ_1$, отключив, таким образом, нагрузку от источника питания.

Как только тиристор $3T$ откроется, конденсатор C_1 по цепи $+E$, средняя обмотка трансформатора, $3T$, D_2 , $-E$ начинает заряжаться до напряжения источника питания. При достижении напряжения на конденсаторе C_1 значения $U_c > U_{cт1} + U_{cт2}$, где $U_{cт1}$ и $U_{cт2}$ — напряжения стабилизации стабилитронов D_1 и D_2 соответственно, на управляющий электрод тиристора $3T$ поступает отрицательный импульс, обеспечивающий его запираение. Уменьшение времени запираения достигается за счет отрицательного импульса возникающего в левой обмотке при протекании через среднюю обмотку спадающего анодного тока.

После запираания тиристора $3T$ энергия, накопленная в первичной обмотке, передается через правую обмотку и диод D_1 конденсатору C_1 , который начинает разряжаться через нагрузку преобразователя. Процесс разряда конденсатора C_1 длится до тех пор, пока напряжение на нем не станет ниже суммарного напряжения стабилизации стабилитронов D_1 и D_2 . В этот момент открывается тиристор $3T$ и процессы в преобразователе повторяются.

В приведенной схеме при изменении входного напряжения в два раза (от 100 до 200 В) выходное напряжение преобразователя меняется менее чем на 3%. Коэффициент полезного действия схемы сравнительно невысок (около 50%) за счет больших потерь энергии в резисторе R_1 . Пульсации напряжения преобразователя сглаживаются эмиттерным повторителем, выполненным на транзисторе T . Он же обеспечивает низкое выходное сопротивление схемы.

Переключатели переменного тока. Коммутацию сигналов переменного тока малой мощности можно осуществить с помощью запираемых тиристоров. На рис. 13,а [Л. 1] представлена диодно-

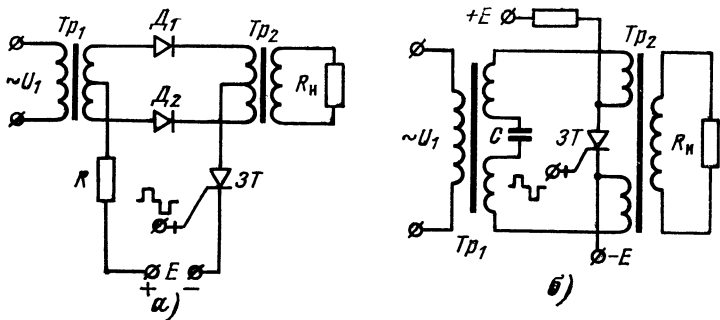


Рис. 13. Схемы переключателей переменного тока.

трансформаторная ключевая схема. Отпирание и запираение тиристора $3T$ осуществляются по управляющему электроду подачей разнополярных импульсов. При включенном источнике питания E и положительном входном импульсе $U_{вх}$ тиристор $3T$ открывается, диоды D_1 и D_2 открыты и переменный сигнал U_1 через трансформаторы Tr_1 и Tr_2 поступает на нагрузку R_n . Если тиристор закрыт (входной импульс $U_{вх}$ — отрицательный), то диоды D_1 и D_2 оказываются включенными встречно, что препятствует протеканию тока.

Для обеспечения надежной работы переключателя элементы схемы выбирают из следующих условий:

$$I_0 > I_{\text{макс}}; I_0 = (0,2 \div 0,4) I_{\text{д. макс.}}$$

где $I_{\text{д. макс}}$ — максимальный выпрямленный ток диода; $I_{\text{макс}}$ — амплитуда коммутируемого переменного тока; I_0 — постоянная составляющая тока через диоды D_1 и D_2 .

Резистор R выбирается из условия обеспечения режима работы тиристора $3T$.

Источник питания E должен быть выбран таким образом, чтобы $2I_0 = (1,3 \div 1,5) I_{\text{выкл.}}$. При этом мощность источника питания определяется выражением $P = 2I_0 E$.

На рис. 13,б [Л. 9] приведена схема переключателя переменного тока, в котором отсутствуют диоды. При подаче положительного сигнала управления на тиристор $3T$ он открывается и сигнал переменного тока U_1 проходит к нагрузке R_n , так как включенный тиристор соединяет первичные обмотки трансформатора Tr_2 со вторичными обмотками трансформатора Tr_1 . При подаче отрицательного сигнала управления тиристор $3T$ запирается и между первичными обмотками трансформатора Tr_2 окажется включенным сопротивление, равное сопротивлению закрытого тиристора.

Устойчивая работа схемы обеспечивается при выполнении неравенства $I_{\text{макс}} - I_0 > I_{\text{выкл.}}$, где I_0 — постоянная составляющая тока, протекающая через тиристор $3T$.

Выбор источника питания E производится из тех же соображений, что и в схеме, представленной на рис. 13,а.

ИМПУЛЬСНЫЕ СХЕМЫ НА ЗАПИРАЕМЫХ ТИРИСТОРАХ

Выбор режима работы. Режим работы тиристора определяется положением рабочей точки на статической вольт-амперной характеристике. На рис. 14 приведены вольт-амперная характеристика и нагрузочные прямые для наиболее характерных режимов работы тиристора.

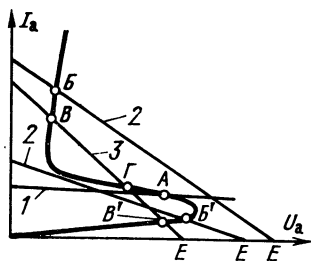


Рис. 14. Режимы работы тиристора.

Режим I. Положение равновесия рабочей точки A неустойчиво (нагрузочная прямая 1). В этом режиме тиристор работает как автогенератор. Вид колебаний (релаксационные или синусоидальные) зависит от соотношения реактивных элементов схемы (L и C).

Режим II. Положение равновесия рабочей точки B (B') устойчиво (нагрузочные прямые 2). В этом режиме тиристор работает как усилитель импульсов или одновибратор. Режим усиления выбирается таким образом, чтобы рабочая точка находилась на участке, соответствующем положению точки B' . В этом случае схема из

любого возможного состояния (точка B) будет возвращаться в точку B' с устойчивым состоянием равновесия.

Режим III. Нагрузочная прямая 3 пересекает вольт-амперную характеристику в трех точках, две из которых (B и B') имеют

устойчивое, а одна (точка \bar{I}) неустойчивое положения равновесия. В этом режиме схема работает как генератор с двумя устойчивыми состояниями. Для перевода схемы из одного устойчивого состояния в другое необходимо подать запускающий импульс на управляющий электрод тиристора.

Таким образом, запираемые тиристоры можно использовать практически в любом из рассмотренных режимов. Наибольшее распространение получили устройства, в которых запираемый тиристор используется как ключевой прибор, управляемый импульсными сигналами. Ниже будут рассмотрены импульсные схемы на тиристорах, работающих во всех трех режимах.

Мультивибраторы. Мультивибратор представляет собой генератор релаксационных колебаний. Перевод схемы из устойчивого состояния в неустойчивое происходит при воздействии внешнего запускающего импульса. В неустойчивом состоянии схема находится в течение некоторого времени, определяемого параметрами схемы, а затем автоматически скачком возвращается в первоначальное устойчивое состояние.

На рис. 15 приведена схема одновибратора (ждушего мультивибратора) [Л. 4]. В состоянии покоя, т. е. до подачи запускающего импульса, тиристоры $ТТ$ и $ЗТ$ закрыты. Положительный запускаю-

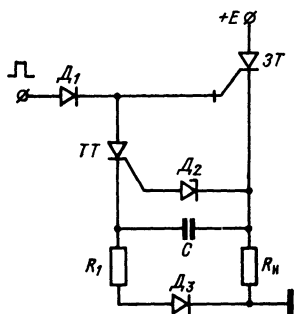


Рис. 15. Схема одновибратора на запираемом тиристоре.

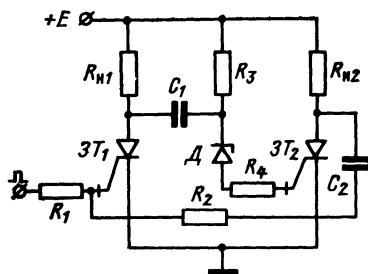


Рис. 16. Схема одновибратора на запираемом тиристоре с двумя выходными цепями.

щий импульс, поданный на вход схемы, открывает тиристор $ЗТ$. В этот момент к нагрузке R_n прикладывается напряжение источника питания E и конденсатор C заряжается. Тиристор $ТТ$ открывается при разряде конденсатора C , когда напряжение на нем достигнет напряжения стабилизации стабилитрона D_2 . Включение тиристора $ТТ$ приводит к запирающему тиристора $ЗТ$ и отключению нагрузки от источника питания. Для этого достаточно обеспечить выполнение следующих условий:

$$(U_{ст} + U_{спр.тт})K_{\Phi} = 2,7I_{н}r_{вх};$$

$$r_{вх}C \geq \tau_{\Phi}.$$

где $U_{ст}$ — напряжение стабилизации стабилитрона D_2 ; $r_{вх} = \frac{U_3}{I_3}$ — входное сопротивление тиристора $3T$; τ_3 — длительность запирающего импульса.

После разряда конденсатора C через тиристор TT последний запирается и схема возвращается в исходное состояние.

Сопротивление резистора R_1 ограничивается неравенством

$$\frac{E}{I_d} < R_1 < \frac{E - U_{ст} - U_{спр.тт}}{I_{спр.тт}},$$

где I_d — максимальный прямой ток через диод D_3 .

Длительность формируемого импульса определяется выражением

$$\tau_{фop} = R_1 C \ln \frac{E}{E - U_{ст} - U_{спр.тт}}.$$

Другой вариант схемы одновибратора [Л. 2] с двумя выходными цепями приведен на рис. 16. В исходном состоянии тиристор $3T_1$ закрыт, а $3T_2$ открыт и через управляющий электрод $3T_2$ протекает ток. При подаче положительного импульса на вход схемы тиристор $3T_1$ открывается, а $3T_2$ закрывается током разряда конденсатора C_1 . Повторное включение $3T_2$ происходит после того, как напряжение на конденсаторе C_1 станет равным напряжению стабилизации стабилитрона D . При этом конденсатор C_2 разряжается по цепи резистор R_2 , управляющий электрод $3T_1$, земля и закрывается тиристор $3T_1$.

В рассмотренной схеме длительность формируемого импульса можно определить из условия

$$\tau_{фop} = R_2 C_1 \ln \frac{E - U_{ст}}{2E - U_{ст}} > \tau_3,$$

где $U_{ст}$ — напряжение стабилизации стабилитрона D .

Мультивибратор с временной задержкой. В схеме, показанной на рис. 17, совместно используются запираемый тиристор и однопереходной транзистор $ОПТ$ [Л. 16]. Схемы управления на $ОПТ$ характеризуются простотой, компактностью, экономичностью и поэтому очень удобны для управления тиристорами. Однопереходной транзистор представляет собой ключевой полупроводниковый прибор с отрицательным сопротивлением, имеющий три вывода: эмиттер (\mathcal{E}), базу 1 (B_1) и базу 2 (B_2). Участок между базами имеет характер линейного омического сопротивления. Если напряжение между эмиттером и базой 1 меньше некоторого определенного значения $U_{э.макс}$, переход $\mathcal{E}-B_1$ смещен в обратном направлении и через него протекает лишь небольшой ток утечки. Как только напряжение на эмиттере $U_{э}$ превысит напряжение $U_{э.макс}$, $ОПТ$ открывается и сопротивление между выводами \mathcal{E} и B_1 падает до 5—20 Ом.

Напряжение $U_{э.макс}$ связано с междубазовым напряжением $U_{B_1 B_2}$ соотношением

$$U_{э.макс} = K U_{B_1 B_2} + U_0.$$

где K — коэффициент, определяющий соотношение порога срабатывания однопереходного транзистора и питающего напряжения, $K = 0,6 \div 0,8$; U_0 — напряжение на переходе эмиттер-база 1, $U_0 \approx 0,5$ В.

Пусть на тиристор $3T$ и транзистор $ОПТ$ подано напряжение источника питания E . Тогда тиристор $3T$ откроется и конденсатор C_1 через резистор R_1 и управляющий электрод тиристора начнет заряжаться (полярность напряжения на конденсаторе указана на рисунке). Как только напряжение на конденсаторе C_1 достигнет

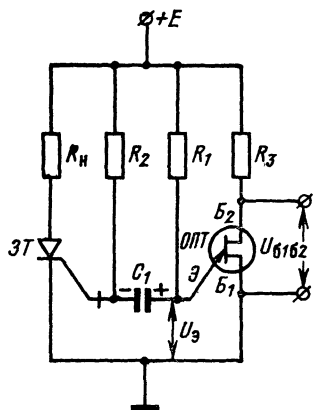


Рис. 17. Схема мультивибратора с временной задержкой.

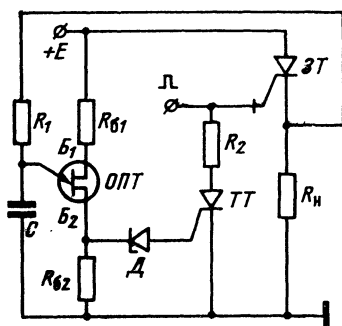


Рис. 18. Схема выключателя с временной задержкой.

значения $U_{0, \max}$, открывается транзистор $ОПТ$. Напряжение на переходе $\mathcal{E}-B_1$ резко уменьшается, и на управляющем электроде тиристора $3T$ появляется отрицательное напряжение, которое запирает последний. Конденсатор C_1 начинает перезаряжаться через резистор R_2 и переход $\mathcal{E}-B_1$ таким образом, что напряжение на его левой (по схеме) обкладке стремится к напряжению источника питания E . Как только напряжение на конденсаторе C_1 достигает значения, необходимого для отпирания тиристора $3T$, последний открывается. С анода тиристора снимаются прямоугольные импульсы, частота следования которых обратно пропорциональна емкости конденсатора C_1 . При необходимости с базы B_2 транзистора $ОПТ$ можно снять импульсы меньшей мощности. После отпирания тиристора $3T$ ток через конденсатор C_1 уменьшается и транзистор $ОПТ$ закрывается. Далее процессы в схеме повторяются. Время открытого и закрытого состояния тиристора определяется сопротивлением резисторов R_2 и R_1 соответственно.

На рис. 18 показана высокостабильная схема временной задержки импульсов [Л. 14]. В схеме используются запираемый тиристор $3T$, триодный тиристор $ТТ$ и однопереходной транзистор $ОПТ$. При отсутствии управляющего импульса тиристор $3T$ закрыт, напряжение на его катоде отсутствует и поэтому закрыты тиристор $ТТ$ и транзистор $ОПТ$. Управляющий импульс открывает тиристор $3T$ и напряжение на катоде тиристора увеличивается до значения $E-U_{0, \text{от}}$. Конденсатор C начинает заряжаться через резистор R_1 , сопротивление которого обычно несколько десятков килоом. Процесс

заряда конденсатора длится до тех пор, пока напряжение на нем не достигнет значения, при котором переход эмиттер — база 1 транзистора *ОПТ* смещается в прямом направлении и транзистор открывается. Теперь конденсатор *С* разряжается через открытый *ОПТ* и параллельно соединенные резистор $R_{б2}$ и управляющую цепь тиристора *ТТ*, открывая его. Тиристор *ТТ* шунтирует управляющий электрод тиристора *ЗТ*, отключая нагрузку от источника питания. Рассмотренная схема, выполненная с применением запираемого тиристора 2У102Б, позволяет получить задержку от 1 до 50 мкс при изменении напряжения источника питания E на 15%.

Приведенные на рис. 17 и 18 схемы отличаются простотой, экономичностью, высокой помехоустойчивостью и дают достаточно точную временную задержку.

Мультивибратор с емкостной связью. На рис. 19 приведена наиболее распространенная схема мультивибратора на запираемых тиристорах с емкостными связями [Л 2]. Мультивибратор состоит из двух усилительных каскадов на резисторах. Выход каждого каскада соединен со входом другого каскада через конденсаторы C_2 и C_4 .

Если каскады мультивибратора выполнены на одностипных тиристорах с использованием одних и тех же элементов, выходные

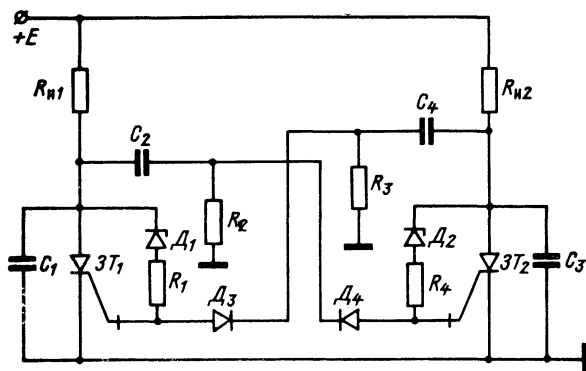


Рис. 19. Схемы мультивибратора с емкостной связью.

импульсы напряжения одного и другого каскада будут одинаковыми по длительности и амплитуде. Такие мультивибраторы называются симметричными. На практике чаще применяют несимметричные мультивибраторы.

Описываемый здесь мультивибратор является симметричным. Рассмотрим его работу. При включении источника питания E конденсатор C_1 начинает заряжаться. Как только напряжение на конденсаторе C_1 достигнет напряжения стабилизации стабилитрона $Д_1$, через управляющий электрод тиристора $ЗТ_1$ потечет ток, который переключит тиристор в проводящее состояние. Тиристор $ЗТ_2$ в этот момент закрыт, так как постоянная времени цепи $R_{н2}C_3$ больше, чем цепи $R_{н1}C_1$ при равенстве напряжений стабилизации стабилитронов $Д_1$ и $Д_2$. После включения тиристора $ЗТ_1$ конденсатор C_1 начинает разряжаться через открытый тиристор, а конденсатор C_3 — заря-

жаться от источника питания. При достижении напряжения на конденсаторе C_3 уровня напряжения стабилизации стабилитрона D_2 тиристор $3T_2$ открывается, а $3T_1$ закрывается током разряда конденсатора C_4 . Далее процессы повторяются. Для предотвращения ложного срабатывания тиристоров $3T_1$ и $3T_2$ в цепи управляющих электродов включены диоды D_3 и D_4 .

Период повторения импульсов определяется по формуле

$$T = R_{H1} C_1 \ln \frac{E - U_{CT1}}{E} - R_{H2} C_2 \ln \frac{E - U_{CT2}}{E},$$

где U_{CT1} и U_{CT2} — напряжения стабилизации диодов D_1 и D_2 соответственно.

В рассмотренной схеме вместо стабилитронов D_1 и D_2 можно использовать диодные тиристоры. Однако следует учитывать, что напряжение включения этих приборов имеет значительный разброс, что затрудняет надежное переключение схемы.

Триггеры. Триггерами называют импульсные устройства, имеющие два устойчивых состояния равновесия. В отличие от ждущих мультивибраторов триггеры переключаются из одного состояния равновесия в другое только при воздействии на него второго запускающего импульса.

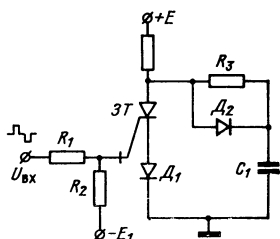


Рис. 20. Схема триггера на запираемом тиристоре.

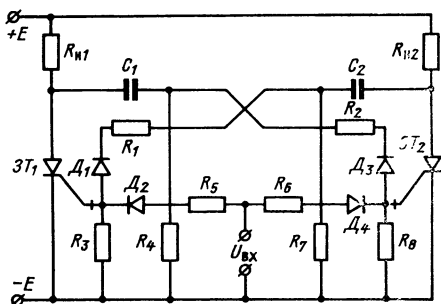


Рис. 21. Схема триггера с совмещенным входом.

Триггер, схема которого показана на рис. 20 [Л. 9], срабатывает от разнополярных импульсов, поступающих на его вход. Запуск триггера осуществляется импульсом положительной полярности. Амплитуда запускающих импульсов должна удовлетворять условию

$$U_{вх} \geq I_y R_1.$$

Для запираания тиристора необходимо выполнение следующих условий:

$$\begin{aligned} \tau_3 &> t_{выкл}; \\ \frac{K_3 U_3}{R_1 + r_{вх.макс}} &\geq I_H, \end{aligned}$$

где $r_{вх.макс}$ — максимальное входное сопротивление закрытого тиристора $3T$; I_H — ток нагрузки.

Диод D_1 , включенный в катодную цепь тиристора $3T$, служит для уменьшения тока утечки при отрицательном смещении на управляющем электроде. Источник смещения E_1 стабилизирует выключенное состояние тиристора $3T$.

Дополнительная цепочка $R_3 C_1 D_2$ существенно повышает устойчивость триггера к внешним помехам, возникающим в цепи источника питания E .

На рис. 21 приведена схема триггера с совмещенным входом [Л. 1, 9]. Предположим, что тиристор $3T_2$ закрыт, а $3T_1$ открыт. Конденсатор C_2 при этом заряжен до напряжения источника питания E через резисторы $R_{н2}$ и R_7 . Тиристор $3T_2$ открывается при подаче следующего запускающего импульса $U_{вх}$. В этом случае через резистор $R_{н2}$ протекает ток нагрузки, равный $E/R_{н2}$. Конденсатор C_2 начинает разряжаться через открытый тиристор $3T_2$, закрывая тиристор $3T_1$. Как только тиристор $3T_1$ закроется, начинает заряжаться конденсатор C_1 по цепи $+E, R_{н1}, R_4, -E$. Далее процессы в триггере повторяются.

Диоды D_1 и D_2 защищают управляющие электроды тириستоров $3T_1$ и $3T_2$ от положительных импульсов напряжения, возникающих во время заряда конденсаторов C_1 и C_2 .

Элементы схемы триггера выбираются из следующих соотношений:

$$C_1 = C_2 = \frac{\tau_3}{R_9 \ln \frac{I_{3.макс}}{I_{3.мин}}};$$

$$R_9 = \frac{R_4(R_1 + R_0)}{R_0 + R_1 + R_4};$$

$$R_0 = \frac{R_3 r_{вх}}{R_3 + r_{вх}},$$

где R_9 — эквивалентное сопротивление цепи разряда конденсаторов; $I_{3.макс}$ и $I_{3.мин}$ — соответственно максимальный и минимальный ток записания тиристора; $r_{вх}$ — входное сопротивление запираемого тиристора.

Суммарное сопротивление цепи заряда конденсаторов

$$R_4 + R_{н1} = \frac{3\tau_{зар}}{C_1},$$

где $\tau_{зар}$ — постоянная цепи заряда.

Максимальная частота следования входных импульсов

$$\frac{1}{f_{макс}} \geq 3\tau_{зар}.$$

Рассмотренная схема может быть использована для запуска тиристоров большой мощности, работающих в инверторах, модуляторах и других устройствах.

Триггер с катодной нагрузкой. На рис. 22 показана схема триггера с катодной нагрузкой [Л. 13, 14]. Триггер работает следующим образом. После включения напряжения питания тиристор $3T_1$ открывается за счет тока протекающего по цепи R_1, R_2 , сопротив-

ление управляющего электрода тиристора $3T_1$, нагрузка R_H . В это время тиристор $3T_2$ закрыт. Переключение схемы происходит после подачи запускающего импульса на тиристор $3T_2$. Открытый тиристор $3T_2$ шунтирует управляющую цепь тиристора $3T_1$, исключая его ложное срабатывание. С приходом следующего отрицательного импульса тиристор $3T_2$ закрывается, а $3T_1$ открывается. Далее процессы в схеме повторяются.

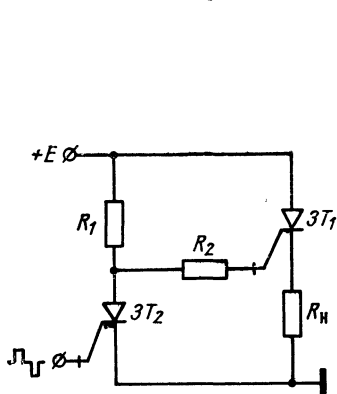


Рис. 22. Схема триггера с общей нагрузкой.

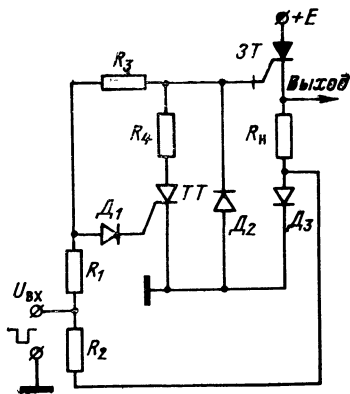


Рис. 23. Схема усилителя импульсных сигналов.

Для устойчивой работы схемы необходимо выполнение следующих условий:

$$I_y = \frac{E}{R_1 + R_2 + r_{вх} + R_H} > I_{спр};$$

$$\frac{E - U_{ост}}{I_a} > R_H > \frac{E - U_{ост}}{I_{выкл}},$$

где I_a — максимально допустимый анодный ток тиристора $3T_1$; $U_{ост}$ — остаточное напряжение на открытом тиристоре $3T_1$; $r_{вх}$ — входное сопротивление тиристора $3T_1$.

Недостатком схемы является зависимость токов включения и выключения тиристора $3T_1$ от сопротивления резистора R_2 . Этот недостаток можно устранить, если разделить цепи включения и выключения тиристора $3T_1$ (например, с помощью диода).

Усилители импульсных сигналов. Схемы усилителей импульсов обеспечивают большой коэффициент усиления по мощности ($K_p = 10^4 \div 10^5$), удобны в настройке и позволяют получать на выходе сигналы, близкие к прямоугольной форме.

Усилитель [Л. 4, 5], схема которого представлена на рис. 23, открывает и закрывает тиристор $3T$ в моменты, соответствующие нарастанию и спаду усиливаемого импульса, и обеспечивает малый уровень искажений сигнала. В этой схеме нагрузка включена в цепь катода запираемого тиристора, что дает возможность получить на выходе схемы импульсы положительной полярности. При отсутствии входного сигнала тиристоры TT и $3T$ закрыты и

устройство не потребляет энергии от источника питания. В момент подачи на вход усилителя сигнала отрицательной полярности $U_{вх}$ тиристор $3T$ открывается и через нагрузку R_H протекает ток, формируя передний фронт выходного импульса. После отпирания тиристора $3T$ к аноду диода D_1 прикладываются положительное напряжение источника питания через резистор R_3 , так как потенциал управляющего электрода тиристора $3T$ практически равен потенциалу его катода, и отрицательное напряжение $U_{вх}$. Диод D_1 закрыт, пока выполняется условие

$$R_3 U_{вх} > \left(R_1 + R_T + \frac{R_T R_1}{R_2} \right) E,$$

где R_T — внутреннее сопротивление источника входного сигнала.

Поэтому до окончания воздействия входного сигнала напряжение на управляющий электрод тиристора TT не поступает. После окончания входного импульса диод D_1 открывается и при $R_3 <$

$\frac{E - U_{сп.тт}}{I_{сп.тт}}$ открывается тиристор TT . Одновременно закрывается

тиристор $3T$, отключая от источника питания тиристор TT и нагрузку R_H . В этот момент на сопротивлении нагрузки формируется задний фронт импульса, после чего схема возвращается в исходное состояние.

Генератор импульсов. Принцип действия схемы, приведенной на рис. 24 [Л. 16], заключается в следующем. При подаче входного

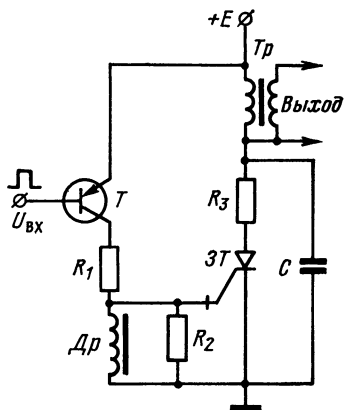


Рис. 24. Схема генератора импульсов.

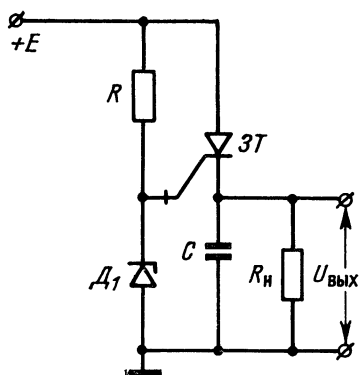


Рис. 25. Схема генератора пилообразного напряжения.

сигнала на базу транзистора T последний открывается и через резистор R_1 начинает протекать ток, открывающий тиристор $3T$. После отпирания тиристора токи в дросселе Dp и первичной обмотке трансформатора Tp начинают нарастать. Как только транзистор T закрывается, возникает импульс тока, обусловленный э. д. с. самоиндукции дросселя, который закрывает тиристор $3T$. При этом во вторичной обмотке трансформатора Tp появляются высокочастот-

ные колебания, возникающие за счет наличия в схеме колебательного контура, образованного индуктивностью трансформатора и емкостью конденсатора C . Частота этих колебаний определяется параметрами трансформатора и емкостью конденсатора.

Схема, представленная на рис. 24, может быть использована в качестве генератора импульсов в автомобильных системах зажигания. В этом случае вместо трансформатора Tr устанавливается специальная катушка зажигания.

Генератор пилообразного напряжения. Генераторы линейно изменяющегося напряжения применяются для развертки электронного луча в электронно-лучевых трубках телевизионных, осциллографических и других устройств, а также в схемах сравнения для задержки импульсов по времени и т. п.

На рис. 25 показана схема генератора пилообразного напряжения, в которой функцию ключа выполняет запираемый тиристор $3T$. При подаче напряжения питания E тиристор $3T$ открывается и напряжение источника питания оказывается приложенным к конденсатору C . Конденсатор начинает заряжаться. Как только напряжение на конденсаторе C достигнет напряжения стабилизации стабилитрона D_1 , управляющий электрод $3T$ оказывается смещенным в обратном направлении и тиристор закрывается. После этого происходит разряд конденсатора C через резистор R_n . Следующий цикл начнется в момент, когда напряжение на конденсаторе станет меньше напряжения стабилизации стабилитрона D_1 и через управляющий электрод тиристора $3T$ начнет протекать ток положительной полярности.

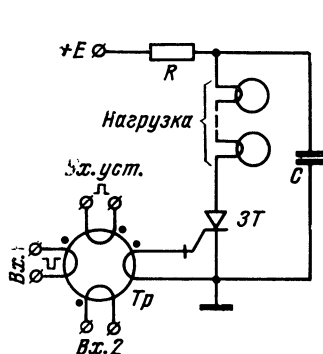


Рис. 26. Схема магнитно-тиристорного логического элемента.

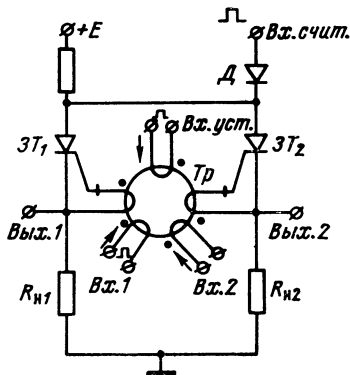


Рис. 27. Схема универсального магнитно-тиристорного логического элемента.

Логические элементы на запираемых тиристорах. Широко известные магнитно-диодные и магнитно-транзисторные логические элементы, несмотря на их простоту и надежность, имеют ряд существенных недостатков. Так, магнитно-диодные элементы имеют низкий коэффициент усиления, что заставляет применять усилители в сложных логических схемах и бороться с помехами. Магнитно-транзисторные элементы имеют недостаточно высокий коэффициент раз-

множения, т. е. не позволяют разветвлять поступающую информацию на большое число элементов.

Применение запираемых тиристоров позволяет создать высоконадежные логические элементы, свободные от указанных выше недостатков [Л. 6, 15].

На рис. 26 приведена логическая схема, выполняющая функцию тождества [Л. 4, 6]. Схема состоит из запираемого тиристора $ЗТ$, трансформатора $Тр$ с четырьмя обмотками, конденсатора $С$ и нагрузки, выполненной в виде обмоток трансформаторов, включенных последовательно с тиристором. С их помощью осуществляется разветвление информации на последующие логические элементы.

При рассмотрении работы схемы предположим, что тиристор $ЗТ$ закрыт. В этом случае конденсатор $С$ заряжен до напряжения источника питания E . При подаче запускающего импульса на входное устройство ($Вх. уст.$) трансформатора $Тр$ открывается тиристор $ЗТ$, конденсатор $С$ разряжается и на нагрузке формируются выходные импульсы. Для запираания тиристора на любой из входов $Вх. 1$ или $Вх. 2$ подается отрицательный импульс.

Сопротивление резистора R выбирается из условия [Л. 4]

$$\frac{E - U_{вкл}}{I_{вкл}} < R_n + R < \frac{E}{I_{выкл}}.$$

Емкость конденсатора $С$ выбирается из условия обеспечения длительности выходного импульса, достаточной для запираания последующих логических ячеек.

Универсальная схема магнитно-тиристорного логического элемента [Л. 4] приведена на рис. 27. Она собрана на двух запираемых тиристорах, управляемых с помощью трансформатора $Тр$, имеющего несколько обмоток. В начальный момент на входное устройство $Вх. уст.$ трансформатора подается установочный импульс, который открывает тиристор $ЗТ_2$. При этом тиристор $ЗТ_1$ запирается отрицательным током, снимаемым с одной из обмоток трансформатора $Тр$. Это так называемое исходное состояние. С приходом на вход $Вх. 1$ положительного импульса открывается тиристор $ЗТ_1$ и закрывается тиристор $ЗТ_2$ и, таким образом, происходит запись информации. Считывание информации производится в третьем такте при подаче на вход $Вх. счит.$ импульса считывания, который в зависимости от состояния тиристоров $ЗТ_1$ и $ЗТ_2$ проходит на один из выходов: $Вых. 1$ (прямой) или $Вых. 2$ (инверсный). Используя комбинации входов и выходов схемы, на таком логическом элементе можно реализовать любую логическую функцию.

Рассмотренные на рис. 27 и 28 логические элементы с использованием запираемых тиристоров имеют ряд преимуществ по сравнению с магнитно-транзисторными схемами. Применение запираемых тиристоров с малым временем запираания дает возможность использовать малогабаритные трансформаторы с небольшим количеством витков. Кроме того, благодаря большому коэффициенту усиления амплитуда выходных импульсов тока может достигать нескольких ампер при мощности управления, равной долям милливатт.

Регистр сдвига. Регистр сдвига представляет собой устройство, которое под действием управляющего (тактового) импульса сдвигает поступающую на вход информацию на один разряд. Сигналы на выходе и входе регистров могут принимать лишь два возможных

Значения и кодируются в двоичной системе счисления следующим образом: низкий потенциал (отсутствие импульса) кодируется цифрой 0, а высокий потенциал (наличие импульса) кодируется цифрой 1.

На рис. 28 изображена схема регистра сдвига, выполненного на запираемых тиристорах [Л. 9]. Для устойчивой работы каждого из тиристоров необходимо выполнение условия $E < U_{вкл.}$. Пусть в исходном состоянии тиристор $3T_1$ закрыт, а $3T_2$ и $3T_3$ открыты. Тогда конденсатор C_1 заряжен до напряжения источника питания E . При подаче на вход схемы тактового импульса откры-

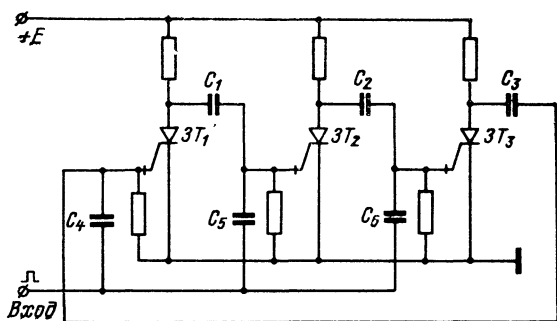


Рис. 28. Схема регистра сдвига на запираемых тиристорах.

вается тиристор $3T_1$ и конденсатор C_1 разряжается через него. Ток разряда конденсатора C_1 , протекая через управляющий электрод тиристора $3T_2$, закрывает последний. С приходом следующего тактового импульса тиристор $3T_2$ открывается и закрывается тиристор $3T_3$. Информация сдвигается на один разряд. Далее процессы в схеме повторяются.

Рассмотренная схема может быть использована для накопления и хранения информации, а также для временной задержки импульсов.

Кольцевые счетчики импульсов. Кольцевые счетчики импульсов на запираемых тиристорах обладают рядом преимуществ перед транзисторными: большая стабильность работы при изменении напряжения питания и температуры окружающей среды, более высокая надежность и т. д. Кроме того, возможность поочередно коммутировать нагрузки относительно большой мощности позволяет включать индикаторные элементы и устройства сигнализации непосредственно в цепь счетчика.

На рис. 29 приведена схема кольцевого счетчика импульсов, выполненного на запираемых тиристорах [Л. 7, 9]. В этой схеме включение нагрузки происходит при подаче запускающего импульса сдвига. В анодные цепи тиристоров $3T$ включены индикаторные лампы, которые позволяют непосредственно наблюдать за процессами счета импульсов.

В исходном состоянии (при включенном напряжении источника питания E) все тиристоры закрыты. При нажатии кнопки Kn (Запуск) открывается тиристор $3T_1$ и к лампе L_1 прикладывается 31

Напряжение источника питания E . В этот момент диоды $\bar{D}_1, \bar{D}_3, \bar{D}_5$ закрыты, причем диоды D_1, D_5 за счет напряжения источника питания $+E$, а диод D_3 за счет падения напряжения на открытом тиристоре $3T_1$.

При подаче импульса сдвига положительной полярности амплитудой $U_{вх} < E$ диоды D_1 и D_5 не пропустят его на вход тиристоров $3T_1$ и $3T_3$. Поэтому откроется только тиристор $3T_2$ через диод D_3 и конденсатор C_4 . С этого момента конденсатор C_5 разряжается по цепи $3T_2, R_6, D_2, R_4$ и закрывает тиристор $3T_1$, так как к управляющему электроду $3T_1$ оказывается приложенным импульс отрицательной полярности. С приходом следующего импульса сдвига

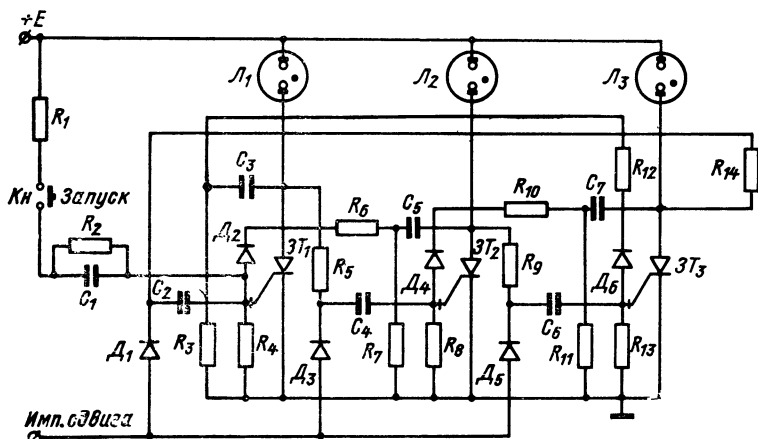


Рис. 29. Схема кольцевого счетчика импульсов.

открывается тиристор $3T_3$ и закрывается $3T_2$, т. е. происходит сдвиг информации и включается следующая индикаторная лампа L_3 .

В рассмотренной схеме импульсы запираения формируются непосредственно в анодной цепи тиристоров, поэтому отпадает необходимость использования достаточно мощных источников запирающих импульсов. По сравнению со схемами на триодных тиристорах этой счетчик импульсов обеспечивает большее быстродействие, ибо запираение тиристора $3T$ происходит по цепи управления.

Схему, изображенную на рис. 30,а [Л. 4], можно использовать как в качестве кольцевого счетчика импульсов, так и в качестве регистра сдвига. Схема включает в себя: счетчик (тиристоры TT_1 — TT_4 с относящимися к ним элементами и генератор импульсов (тиристоры TT_0 и $3T$ с относящимися к ним элементами).

Генератор импульсов предназначен для запираения тиристоров счетчика. Режим работы генератора выбирается из условия

$$\frac{E + E_1}{R_1} > I_{a \text{ мин.}}$$

где $I_{a \text{ мин}}$ — минимальный анодный ток открытого тиристора $3T$.

При выполнении этого неравенства тиристор $3T$ сохраняет открытое состояние.

Для удобства рассмотрения процессов в счетчике примем: $C_1 = C_2 = \dots C$ и $R_{H1} = R_{H2} = \dots R_H$. Пусть выключатель B замкнут, конденсаторы $C_1 - C_4$ заряжены до напряжения источника питания E и тиристоры TT_1 и TT_2 открыты. Как только на вход $Bx.1$ поступает управляющий импульс (рис. 30, б), открывается тиристор TT_0

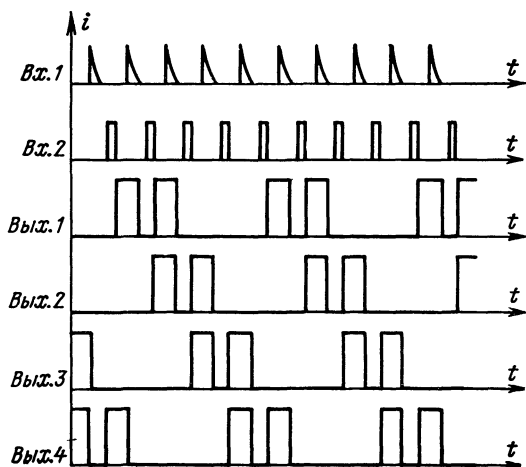
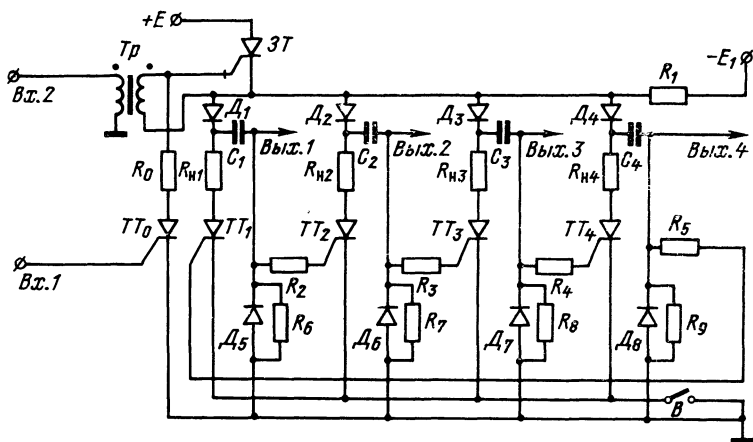


Рис. 30. Универсальная кольцевая пересчетная схема (а) и осциллограммы импульсов тока (б).

и тиристор $\bar{3T}$ закрывается при выполнении условий

$$\frac{R_{\text{н}}}{n} > \frac{R_0}{K_3 - 1},$$

где n — число проводящих каскадов.

Конденсаторы C_1 и C_2 разряжаются соответственно по цепям $R_{\text{н1}}, TT_1, D_5; R_{\text{н2}}, TT_2, D_6$.

Через промежуток времени t , необходимый для запираания всех тириستоров, на вход $Bx. 2$ подается импульс положительной полярности. Этот импульс открывает тиристор $3T$. Конденсаторы C_1 и C_2 при этом заряжаются и, так как сопротивления резисторов $R_2 \ll R_6$ и $R_3 \ll R_7$, ток заряда конденсаторов C_1 и C_2 открывает тиристоры TT_2 и TT_3 . Таким образом, каждая пара входных импульсов закрывает открытый тиристор и открывает следующий за ним закрытый, т. е. продвигает записанную информацию на один разряд.

Рассмотрим основные соотношения, необходимые для расчета кольцевого счетчика.

Сопротивления резисторов $R_2 - R_5$ и емкости конденсаторов $C_1 - C_4$ выбираются из условий

$$R_2 \leq \frac{E - U_{\text{спр.тт}} U_{\text{ост.3т}}}{3I_{\text{спр.тт}}};$$

$$C_1 \geq \frac{\tau_y}{R_2},$$

где τ_y — длительность управляющего импульса при заданных значениях $U_{\text{спр.тт}}$ и $I_{\text{спр.тт}}$.

Минимальный период следования управляющих импульсов определяется выражением

$$T_{\text{мин}} = t + t_{\text{вкл.3т}} + 5\tau_y,$$

где t — время, необходимое для запираания всех тиристоров счетчика.

Выходные импульсы, снимаемые с сопротивлений нагрузок, имеют форму, близкую к прямоугольной, при этом нарастание и спад импульсов определяются соответственно временем включения $t_{\text{вкл}}$ тиристоров счетчика и постоянной времени разряда конденсаторов $C_1 - C_4$.

ПРИЛОЖЕНИЕ 1

Электрические параметры тиристоров 2У102А—2У102Г *

Тип тиристора	Наибольшее анодное (прямое) напряжение, В
2У102А	50
2У102Б	100
2У102В	150
2У102Г	200

* Для всех тиристоров этого типа.

Обратное напряжение, В, не более	5
Ток выключения ¹ , мА, не более	20
Импульсный ток запираения ² , мА, не более	20
Импульсный ток спрямления ³ , мА, не более	20
Импульсное напряжение запираения ² , В, не более	12
Импульсное напряжение спрямления ⁴ , В, не более	7
Остаточное напряжение, В, не более	2,5
Запираемый анодный ток ⁵ , мА, не более	50
Рассеиваемая мощность, Вт, не более	0,16
Время включения, мкс, не более	5
Время запираения, мкс, не более	20
Скорость нарастания анодного напряжения, В/мкс, не более	200
Долговечность, ч, не менее	10 000

¹ При температуре окружающей среды $-60 \pm 2^\circ\text{C}$ и анодном напряжении 20 В.

² При температуре окружающей среды 20 ± 5 и $70 \pm 2^\circ\text{C}$, наибольшем анодном напряжении, длительности запирающего импульса 20 мкс, анодном токе 50 мА и частоте не более 1 кГц.

³ При температуре окружающей среды 20 ± 5 и $-60 \pm 2^\circ\text{C}$, анодном напряжении 10 В, анодном токе 30 мА, длительности запускающего импульса 5 мкс и частоте не более 1 кГц.

⁴ При температуре окружающей среды $-70 \pm 2^\circ\text{C}$, отключенном аноде, импульсном токе спрямления не более 20 мА, длительности запускающего импульса 5 мкс и частоте не более 1 кГц.

При температуре окружающей среды от -60 до $+70^\circ\text{C}$.

ПРИЛОЖЕНИЕ 2

Электрические параметры тиристоров КУ204А—КУ204В *

Тип тиристора	Наибольшее анодное напряжение, В	Импульсный ток за- пираания, мА
КУ204А	50	400 ¹
КУ204Б	100	400 ²
КУ204В	200	400 ³

* Для всех тиристоров этого типа.

Импульсный ток спрямления ¹ не более, мА	150
Импульсное напряжение спрямления ² не более, В	5
Импульсное напряжение за-пираания ³ не более, В	3
Остаточное напряжение не более, В	3,2
Запираемый анодный ток ⁴ не более, А	2
Анодный ток открытого прибора при температуре окружающей среды —25°С не более, А	1
Длительность запирающего импульса не более, мкс	120
Наибольший импульсный прямой ток в цепи управляющего электрода, мА:	
при длительности за-пускающего импульса не менее 10 мкс	600
при длительности за-пускающего импульса не более 10 мкс	450
Наибольшая мгновенная мощность за-пускающего импульса, Вт:	
при длительности импульса не менее 10 мкс	1,7
при длительности импульса не более 10 мкс	0,9
Скорость нарастания прямого напряжения, В/мкс	20
Долговечность не менее, ч	8000

¹ При запираемом анодном токе 1 А и прямом напряжении 20 В.

² При токе в цепи управляющего электрода 150 мА.

³ При токе в цепи управляющего электрода 400 мА.

⁴ При температуре корпуса 55°С.

СПИСОК ЛИТЕРАТУРЫ

1. Ауэн Л. Ф. Бесконтактные переключатели и пересчетные схемы на тиристорах. М., «Энергия», 1968. 89 с. с ил.
2. Импульсные схемы на динисторах и тиристорах. М., «Наука», 1968. 239 с. с ил. Авт.: Р. В. Билик, В. С. Крутенко, В. Г. Машлыкин и др.
3. Бруннето Ф. Новый полупроводниковый переключатель. — «Электроника», 1963, № 17, с. 60.
4. Горохов В. А., Щедрин М. Б. Тиристоры в импульсных схемах. М., «Советское радио», 1972. 303 с. с ил.
5. Горохов В. А., Колосов И. Н., Щедрин М. Б. Эффективный способ построения импульсных схем с использованием запираемых тиристоров. — «Сб. статей МЛТИ», 1967, вып. 16, с. 271—286.
6. Горохов В. А., Кругликов П. Ф. Магнитно-полупроводниковые логические элементы. — «Автоматика и вычислительная техника», 1969, № 6, с. 62.
7. Грехем. Запираемый переключатель повышает скорость коммутации постоянного тока. — «Электроника», 1964, т. 37, № 12, с. 29—38.
8. Скаржепа В. А., Морозов А. А. Исследование динамических характеристик ключа с катодной нагрузкой на запираемом тиристоре. — «Изв. вузов. Радиоэлектроника», 1972, т. 15, № 5, с. 576—580.
9. Дзюбин И. И. Тиристоры в электрических схемах. М., «Энергия», 1972. 111 с. с ил.
10. Каганов И. Л., Малахов Э. С. Типовые элементы релейного и коммутационного действия с двухоперационными тиристорами. — «Электричество», 1966, № 1, с. 28—33.
11. Коссов О. А., Хасаев О. И. Полностью управляемые тиристоры в устройствах автоматики. М., «Энергия», 1970. 113 с. с ил.
12. Горохов В. А., Кругликов А. Ф. Анализ схем запуска и запираания триодных тиристоров. — «Сб. статей МЛТИ», 1967, вып. 16, с. 167—187.
13. Скаржепа В. А., Морозов А. А. Исследование характеристик тиристорного ключа на запираемых тиристорах с катодной нагрузкой. — «Изв. вузов. Радиоэлектроника», 1971, т. 14, № 3, с. 280—286.
14. Скаржепа В. А., Морозова А. А. Построение и расчет ключевых схем на запираемых тиристорах с катодной нагрузкой. — «Изв. вузов. Радиоэлектроника», 1974, т. 17, № 1, с. 56—60.
15. Соломин В. И. Применение тиристоров в феррит-диодных схемах. «Приборы и системы управления», 1971, № 6, с. 44—45.
16. Тиристоры. Технический справочник. Под ред. В. А. Лабунцова, С. Г. Обухова, А. Ф. Свиридова, М., «Энергия», 1971. 560 с. ил.
17. Горохов В. А., Кошеляев Г. В. Неоднородные явления при выключении тиристора по управляющему электроду. — «Радиотехника», 1971, т. 26, № 12, с. 86—90.

ОГЛАВЛЕНИЕ

Предисловие	3
Общие сведения о запираемых тиристорах	4
Вольт-амперные характеристики запираемых тиристорov	7
Управление запираемыми тиристорами . .	11
Бесконтактные переключающие устройства	15
Импульсные схемы на запираемых тиристорах	20
Приложение 1. Электрические параметры тиристорov 2У102А—2У102Г . . .	35
Приложение 2. Электрические параметры тиристорov КУ204А—КУ204В . . .	36
Список литературы	37

Иван Иванович Дзюбин
ЗАПИРАЕМЫЕ ТИРИСТОРЫ И ИХ ПРИМЕНЕНИЕ

Редактор Б. Н. Иванчук
Редактор издательства А. Г. Козлова
Обложка художника А. А. Иванова
Технический редактор Т. А. Маслова
Корректор А. Д. Халанская

Сдано в набор 17/III 1976 г.
Подписано к печати 3/VIII 1976 г.
Т-15112 Формат 84×108^{1/32} Бумага типографская № 2
Усл. печ. л. 2,1 Уч.-изд. л. 2,45
Тираж 30 000 экз. Зак. 563 Цена 11 коп.

Издательство «Энергия»,
Москва, М-114, Шлюзовая наб., 10

Московская типография № 10 Союзполиграфпрома
при Государственном комитете Совета Министров СССР
по делам издательств, полиграфии и книжной торговли,
Москва, М-114, Шлюзовая наб., 10.

НАШИМ ЧИТАТЕЛЯМ

Издательство «Энергия» и редакция МРБ книг не высылают. Литературу по вопросам радиоэлектроники и радиолубительства можно приобрести в магазинах научно-технической книги или в универсальных магазинах, где есть отдел научно-технической книги.

Публикации о книгах, которые будут издаваться в текущем году, ежегодно печатаются в первых номерах журнала «Радио».

Заказывать книги МРБ рекомендуем только по плану текущего года и даже квартала, так как они расходятся очень быстро.

Радиолюбители, живущие в местах, где нет книжных магазинов, могут обратиться в республиканские магазины научно-технической книги своей республики по следующим адресам:

АЗЕРБАЙДЖАНСКАЯ ССР — г. Баку, ул. Саратовца-Ефимова, 30.

АРМЯНСКАЯ ССР — г. Ереван, ул. Абовяна, 17, магазин № 1.

БЕЛОРУССКАЯ ССР — г. Минск, 5, Ленинский проспект, 48.

ГРУЗИНСКАЯ ССР — г. Тбилиси, проспект Руставели, 37.

КАЗАХСКАЯ ССР — г. Алма-Ата, ул. Чайковского, 120.

КИРГИЗСКАЯ ССР — г. Фрунзе, Советская ул., 206, магазин № 1.

ЛАТВИЙСКАЯ ССР — г. Рига, ул. Ленина, 29.

ЛИТОВСКАЯ ССР — г. Вильнюс, проспект Ленина, 29.

МОЛДАВСКАЯ ССР — г. Кишинев, ул. Пушкина, 15.

ТАДЖИКСКАЯ ССР — г. Душанбе, проспект Ленина, 128.

ТУРКМЕНСКАЯ ССР — г. Ашхабад, Хивинская ул., 1.

УЗБЕКСКАЯ ССР — г. Ташкент, 122, Волгоградская ул., 10-а.

УКРАИНСКАЯ ССР — г. Киев, 30, ул. Ленина, 10, магазин № 1;
г. Львов, Базарная ул., 10; г. Харьков, 12, ул. Свердлова, 17.

ЭСТОНСКАЯ ССР — г. Таллин, проспект Ленина 7.

Адрес редакции Массовой радиобиблиотеки: 113114, Москва, М-114, Шлюзовая наб., 10, издательство «Энергия».

Цена 11 коп.